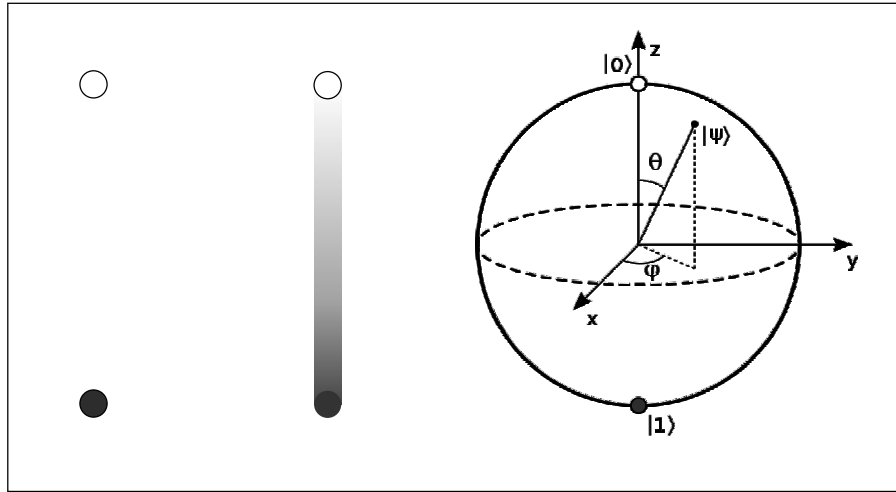


Kodowanie, Kompresja, Kryptografia

Konspekt VII, 12.VI.2023

Informacja kwantowa

Nośnik informacji — qubit: stan dwupoziomowego układu kwantowego



$$|\psi\rangle = \alpha |0\rangle + \beta |1\rangle, \quad \alpha, \beta \in \mathbb{C}, \quad |\alpha|^2 + |\beta|^2 = 1.$$

Postulaty mechaniki kwantowej

- I. Z każdym izolowanym układem kwantowym S skojarzona jest zespolona przestrzeń wektorowa \mathcal{H}_S z iloczynem skalarnym (przestrzeń Hilberta) zwana przestrzenią stanów układu. Stan układu jest w każdej chwili wyczerpująco opisany przez pewien unormowany wektor $|\psi\rangle \in \mathcal{H}_S$, $\| |\psi\rangle \| = 1$.
- II. Ewolucja izolowanego układu kwantowego opisana jest przez unitarną transformację w \mathcal{H}_S . Jeśli w chwili t_1 układ znajduje się w stanie $|\psi_1\rangle$, a w chwili t_2 w stanie $|\psi_2\rangle$, wtedy stany te powiązane są relacją

$$|\psi_2\rangle = U |\psi_1\rangle$$

gdzie U jest operatorem unitarnym, $U^*U = I$, zależnym jedynie od t_1 i t_2 .

- III. Przestrzenią stanów układu złożonego z podukładów A i B jest przestrzeń Hilberta będąca iloczynem tensorowym przestrzeni odp. podukładów

$$\mathcal{H}_{AB} = \mathcal{H}_A \otimes \mathcal{H}_B$$

IV. Pomiary kwantowe opisane są rodziną $\{W_m\}$ operatorów pomiaru, działających na przestrzeni \mathcal{H} układu. Zbiór indeksów m odpowiada możliwym wynikom pomiaru. Jeśli pomiar wykonany jest w stanie ψ , wówczas wynik m pojawia się z prawdopodobieństwem

$$p_m = \langle \psi | W_m^* W_m | \psi \rangle ,$$

a stan układu bezpośrednio po pomiarze będzie miał postać

$$\frac{1}{\sqrt{p_m}} W_m | \psi \rangle .$$

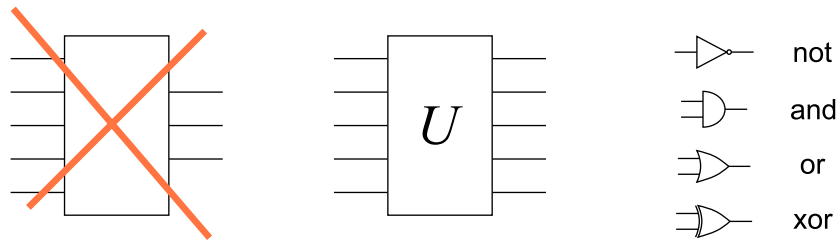
Operatory pomiaru tworzą układ zupełny

$$\sum_m W_m^* W_m = I$$

co odpowiada zupełności układu prawdopodobieństw $\sum_m p_m = 1$.

Dynamika

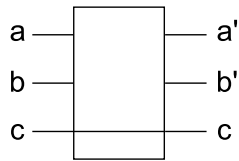
Przetwarzanie danych binarnych — układ bramek logicznych.



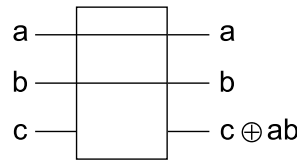
Mechanika kwantowa wymaga *odwracalności* operacji logicznych. Wśród bramek klasycznych tylko NOT jest odwracalna.

$$\text{Liczba wejść} = \text{liczba wyjść}$$

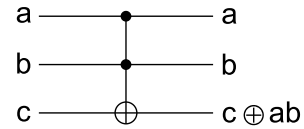
Uniwersalne klasyczne bramki odwracalne:



Fredkin



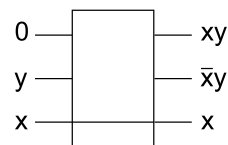
Toffoli



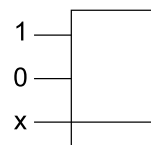
1. Bramka Fredkina. Trzeci bit pełni rolę sterującą. Jeśli $c = 0$, bramka działa jak identyczność, $a' = a$, $b' = b$. Jeśli zaś $c = 1$, a zamienia się z b . Istnieje ciekawa realizacja fizyczna tej bramki: “maszyna bilardowa” (p. osobne rysunki).

ZADANIE: narysuj tabelkę 0–1 opisującą działanie tej bramki i przekonaj się, że jest ono odwracalne.

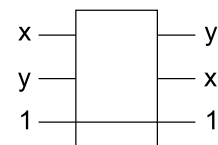
Bramka Fredkina jest *uniwersalna*, tzn. może realizować operacje AND i NOT, a więc także wszystkie inne operacje logiczne. Dodatkowo CLONE — powielenie wartości bitu i CROSS — zamiana x i y .



and



not
clone



cross

2. Bramka Toffoliego. Bity a i b pełnią rolę kontrolną. Jeśli $ab = 0$, c pozostaje bez zmian, jeśli zaś $a = b = 1$, c podlega negacji. Bramkę tę w kontekście kwantowym nazywa się CCNOT (controlled-controlled NOT). Jest też prostsza bramka 2×2 CNOT (controlled NOT) o podobnym działaniu, lecz tylko jednym bicie kontrolnym.

ZADANIE: jak wyżej przeanalizuj tabelki 0–1 dla CNOT i CCNOT pod kątem odwracalności.

CCNOT też jest uniwersalna, bo można przy jej pomocy zaimplementować operację NAND (która jak wiadomo jest uniwersalna): jeśli $c = 1$ to $c' = 1 \oplus ab = \overline{ab}$. Ponadto biorąc $a = 1$ i $c = 0$ otrzymamy $c' = b$ czyli sklonowane b . Nie można zrealizować nią operacji CROSS, ale można to zrobić przy pomocy 3 połączonych szeregowo bramek CNOT.

Iloczyn tensorowy, unitarna reprezentacja bramek

Iloczyn tensorowy vs. iloczyn kartezjański przestrzeni:

$$\dim(U \times V) = \dim U + \dim V, \quad \dim(U \otimes V) = \dim U \cdot \dim V$$

$$\begin{bmatrix} u_1 \\ u_2 \\ u_3 \end{bmatrix} \times \begin{bmatrix} v_1 \\ v_2 \end{bmatrix} = \begin{bmatrix} u_1 \\ u_2 \\ u_3 \\ v_1 \\ v_2 \end{bmatrix}, \quad \begin{bmatrix} u_1 \\ u_2 \\ u_3 \end{bmatrix} \otimes \begin{bmatrix} v_1 \\ v_2 \end{bmatrix} = \begin{bmatrix} u_1 \begin{bmatrix} v_1 \\ v_2 \end{bmatrix} \\ u_2 \begin{bmatrix} v_1 \\ v_2 \end{bmatrix} \\ u_3 \begin{bmatrix} v_1 \\ v_2 \end{bmatrix} \end{bmatrix}$$

PRZESTRZEŃ STANÓW DWÓCH QUBITÓW

Niech \mathcal{H}_1 oznacza przestrzeń stanów pojedynczego qubitu, czyli 2-wymianową przestrzeń zespoloną z bazą $\left\{ |0\rangle = \begin{bmatrix} 1 \\ 0 \end{bmatrix}, |1\rangle = \begin{bmatrix} 0 \\ 1 \end{bmatrix} \right\}$.

Zapis skrótowy: $|a\rangle \otimes |b\rangle = |ab\rangle$. Baza $\mathcal{H}_2 = \mathcal{H}_1 \otimes \mathcal{H}_1$:

$$|00\rangle = \begin{bmatrix} 1 \\ 0 \\ 0 \\ 0 \end{bmatrix}, \quad |01\rangle = \begin{bmatrix} 0 \\ 1 \\ 0 \\ 0 \end{bmatrix}, \quad |10\rangle = \begin{bmatrix} 0 \\ 0 \\ 1 \\ 0 \end{bmatrix}, \quad |11\rangle = \begin{bmatrix} 0 \\ 0 \\ 0 \\ 1 \end{bmatrix},$$

Zauważmy, że niektóre superpozycje stanów takiego układu można rozłożyć na iloczyn tensorowy stanów pojedynczych qubitów, a innych nie. Np.

$$\frac{1}{\sqrt{2}}(|00\rangle + |01\rangle) = |0\rangle \otimes \frac{|0\rangle + |1\rangle}{\sqrt{2}},$$

ale nie można tego zrobić dla stanu $\frac{1}{\sqrt{2}}(|00\rangle + |11\rangle)$ (trochę analogicznie do $a^2 + ab = a(a + b)$, ale już nie dla $a^2 + b^2$).

Oznaczenia: $I = \begin{bmatrix} 1 & 0 \\ 0 & 1 \end{bmatrix}$ – identyczność, $X = \begin{bmatrix} 0 & 1 \\ 1 & 0 \end{bmatrix}$ – macierz NOT.

Macierz CNOT

$$\left[\begin{array}{c|c} I & 0 \\ \hline 0 & X \end{array} \right] = \left[\begin{array}{cc|cc} 1 & 0 & 0 & 0 \\ 0 & 1 & 0 & 0 \\ \hline 0 & 0 & 0 & 1 \\ 0 & 0 & 1 & 0 \end{array} \right]$$

Macierz CCNOT (Toffoli)

$$\left[\begin{array}{cc|cc} I & 0 & & \\ \hline 0 & I & & \\ \hline & & I & 0 \\ & & \hline & & 0 & X \end{array} \right] = \begin{bmatrix} 1 & 0 & & & & & & \\ 0 & 1 & 0 & & & & & \\ & & \ddots & 0 & & & & \\ & & & 0 & 1 & 0 & & \\ & & & & 0 & 0 & 1 & \\ & & & & & & & 1 & 0 \end{bmatrix}$$

ZADANIE: *Zapisz macierz dla bramki Fredkina.*

Wszystkie te macierze są unitarne.

Jak działają te bramki na kwantowych stanach qubitów?

Bramka CNOT z drugim bitem ustawionym na 0 klonuje klasyczne stany $a \in \{|0\rangle, |1\rangle\}$ pierwszego bitu: $|a0\rangle \rightarrow |aa\rangle$. Ale nie jest to już prawdą, gdy pierwszy bit ma wartość $a = \alpha |0\rangle + \beta |1\rangle$. Wtedy

$$|a0\rangle = \begin{bmatrix} \alpha \\ 0 \\ \beta \\ 0 \end{bmatrix} \rightarrow \begin{bmatrix} \alpha \\ 0 \\ 0 \\ \beta \end{bmatrix} = \alpha |00\rangle + \beta |11\rangle \neq |aa\rangle$$

No-cloning Theorem

Nie istnieje proces kwantowy, który powieliłby nieznaną stan qubitów.

DOWÓD. Załóżmy nie wprost, że taka operacja U istnieje, tj. dla dowolnych dwóch stanów $|\psi\rangle, |\phi\rangle$ mamy

$$\begin{aligned} U(|\psi\rangle \otimes |s\rangle) &= |\psi\rangle \otimes |\psi\rangle \\ U(|\phi\rangle \otimes |s\rangle) &= |\phi\rangle \otimes |\phi\rangle \end{aligned}$$

Obliczając stronami iloczyny skalarne

$$(\langle\phi| \otimes \langle s|)U^*U(|\psi\rangle \otimes |s\rangle) = \langle\phi|\psi\rangle \langle s|s\rangle = (\langle\phi|\psi\rangle)^2,$$

czyli $z = z^2$, a to ma tylko dwa rozwiązania: $z = 0$ lub $z = 1$. W pierwszym wypadku mamy $|\phi\rangle \perp |\psi\rangle$, a w drugim $|\phi\rangle = |\psi\rangle$. Widać więc, że klonowanie nie może działać uniwersalnie. Jeśli daje się (przypadkiem) sklonować jakiś stan, to można tą samą operacją sklonować co najwyżej stany do niego ortogonalne.

Bramki kwantowe

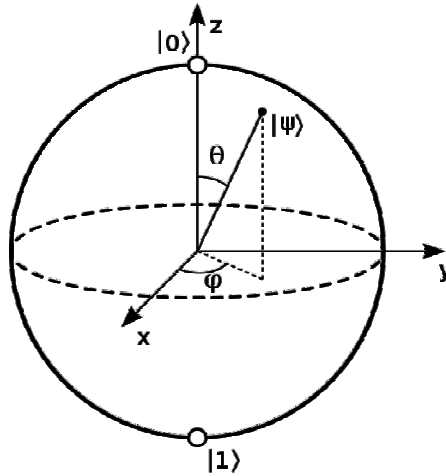
Uniwersalność: chodzi o utworzenie minimalnego zbioru prostych bramek, z którego dałoby się zbudować dowolną operację unitarną na układzie n qubitów, $\mathcal{H}_n = \mathbb{C}^{2^n}$. (Podobnie jak NOT i AND albo NAND tworzą klasy zupełne w klasycznej logice). Oprócz poznanych bramek X, CNOT i CCNOT, zwykle korzysta się z kilku innych:

$$I = \begin{bmatrix} 1 & 0 \\ 0 & 1 \end{bmatrix}, \quad X = \begin{bmatrix} 0 & 1 \\ 1 & 0 \end{bmatrix}, \quad Y = \begin{bmatrix} 0 & -i \\ i & 0 \end{bmatrix}, \quad Z = \begin{bmatrix} 1 & 0 \\ 0 & -1 \end{bmatrix}$$

Są to tzw. *macierze Pauliego* tworzące wygodną bazę podprzestrzeni macierzy Hermitowskich w $\mathbb{M}_{2 \times 2}(\mathbb{C})$. Dodatkowo używa się bramek Hadamarda $H = \frac{1}{\sqrt{2}}(X + Z)$ oraz tzw. bramek “fazowych” S i T , powiązanych relacjami $S^2 = Z$, $T^2 = S$:

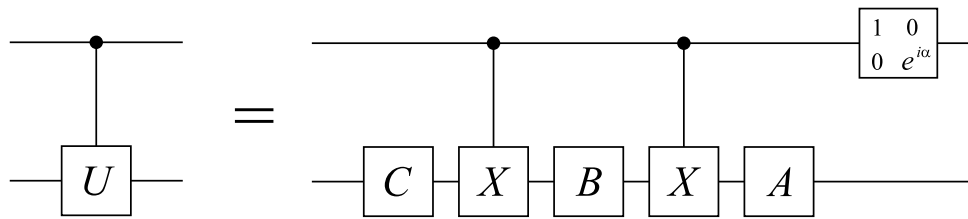
$$H = \frac{1}{\sqrt{2}} \begin{bmatrix} 1 & 1 \\ 1 & -1 \end{bmatrix}, \quad S = \begin{bmatrix} 1 & 0 \\ 0 & i \end{bmatrix}, \quad T = e^{i\pi/8} \begin{bmatrix} e^{-i\pi/8} & 0 \\ 0 & e^{i\pi/8} \end{bmatrix},$$

X, Y, Z generują obroty wokół osi $\mathbf{x}, \mathbf{y}, \mathbf{z}$ sfery Blocha



Każda operacja unitarna na pojedynczym qubicie może być przedstawiona jako złożenie 3 obrotów wokół 2 nierównoległych osi. Można to zrealizować kombinacją operatorów X, Y, Z, H i T .

Podobnie jak CNOT, ważne są operacje “sterowane” drugim qubitem:

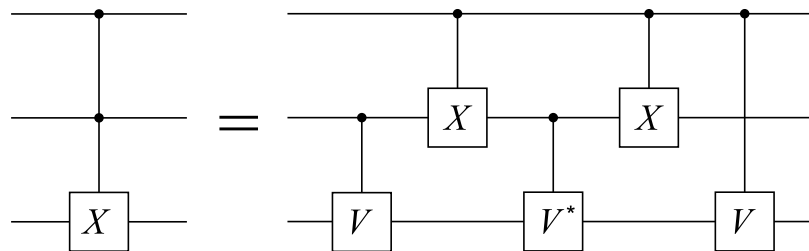


Gdy pierwszy qubit $b = 0$, bramka nie robi nic ($= I$), a gdy $b = 1$, U działa na drugi qubit. Czasem w uproszczeniu zapisuje się to jako U^b . Konstrukcja bramki “sterowane U ” korzysta z twierdzenia o rozkładzie operatorów unitarnych 2×2

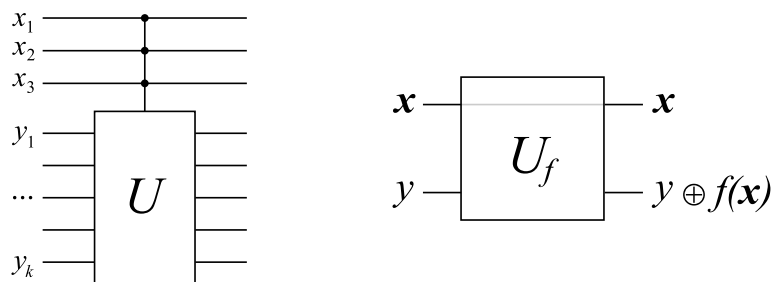
$$U = e^{i\alpha}AXBXC, \quad \text{przy czym } ABC = I,$$

gdzie A, B, C można poskładać z prostych obrotów wokół osi $\mathbf{x}, \mathbf{y}, \mathbf{z}$.

CNOT służy także do konstrukcji bramek wielo-qubitowych, np. CCNOT



gdzie $V = \sqrt{X} = \frac{1-i}{2}(I + iX)$. Układy bramek pozwalają w szczególności tworzyć wielopoziomowe, wielokrotnie sterowane operacje



w skrócie: $U^{x_1 x_2 x_3} |y_1 \dots y_k\rangle$. Drugi rysunek pokazuje schemat jak w sposób odwracalny można obliczać dowolną funkcję logiczną $f : \{0, 1\}^n \rightarrow \{0, 1\}$.

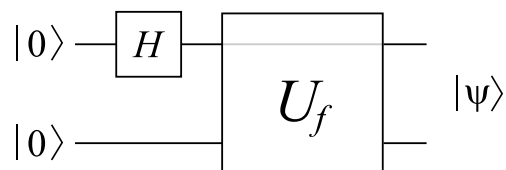
Algorytm Deutsch-Jozsy

f jest nieznaną funkcją logiczną na pojedynczego bitu. Są 4 takie funkcje: $\mathbf{0}$, $\mathbf{1}$, I oraz X . Ile “pytań” typu $f(0) = \dots$ trzeba zadać, aby sprawdzić czy f jest stała? Klasycznie muszą być zadane 2 pytania $f(0)$ i $f(1)$. Kwantowo można jednoznacznie rozpoznać typ f za pomocą \dots *jednego* pytania.

Algorytm, tak jak na obrazku wyżej, oblicza $|x, y\rangle \rightarrow |x, y \oplus f(x)\rangle$. Można sprawdzić, wypisując pary tych wektorów dla czterech różnych funkcji f , że U_f jest dane kolejno dla $\mathbf{0}$, $\mathbf{1}$, I , X następującymi macierzami

$$\left[\begin{array}{c|c} 1 & \\ \hline & 1 \\ \hline & \\ & 1 \end{array} \right] \quad \left[\begin{array}{c|c} 0 & 1 \\ 1 & 0 \\ \hline & 0 & 1 \\ & 1 & 0 \end{array} \right] \quad \left[\begin{array}{c|c} 1 & \\ \hline & 0 & 1 \\ & 1 & 0 \end{array} \right] \quad \left[\begin{array}{c|c} 0 & 1 \\ 1 & 0 \\ \hline & 1 & \\ & & 1 \end{array} \right]$$

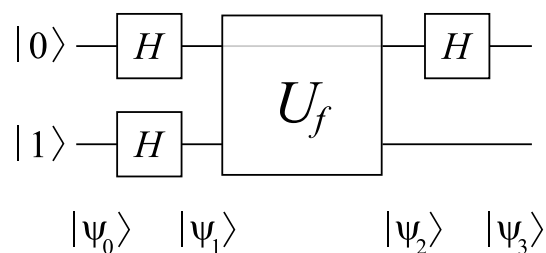
Zadanie polega więc na tym, żeby najmniejszą liczbą testów dowiedzieć się czy U_f ma postać 1 lub 2, czy też 3 lub 4. Jeśli utworzymy układ bramek



$$|0\rangle |0\rangle \rightarrow \frac{1}{\sqrt{2}}(|0\rangle + |1\rangle) |0\rangle \rightarrow \frac{1}{\sqrt{2}}(|0, f(0)\rangle + |1, f(1)\rangle),$$

w wyniku $|\psi\rangle$ mieści się *pełna informacja* o f .

Weźmy teraz układ



Kolejno mamy $|\psi_0\rangle = |0, 1\rangle \rightarrow |\psi_1\rangle = \frac{1}{2}(|0\rangle + |1\rangle) \otimes (|0\rangle - |1\rangle)$.

Dalej jeśli oznaczymy pierwszy qubit przez $|x\rangle$ (tj. $x = 0$ lub $x = 1$) obliczymy dla składników $|\psi_1\rangle$

$$\begin{aligned} \frac{1}{2} |x\rangle (|0\rangle - |1\rangle) &\rightarrow \frac{1}{2} |x\rangle (|f(x)\rangle - |\overline{f(x)}\rangle) \\ &= \begin{cases} \frac{1}{2} |x\rangle (|0\rangle - |1\rangle) & \text{gdy } f(x) = 0 \\ \frac{1}{2} |x\rangle (|1\rangle - |0\rangle) & \text{gdy } f(x) = 1 \end{cases} \\ &= \frac{(-1)^{f(x)}}{2} |x\rangle (|0\rangle - |1\rangle) \end{aligned}$$

Łącząc teraz wszystkie wyniki, zapiszemy $|\psi_2\rangle = U_f |\psi_1\rangle$ jako

$$\begin{aligned} |\psi_2\rangle &= \frac{1}{\sqrt{2}} \left((-1)^{f(0)} |0\rangle + (-1)^{f(1)} |1\rangle \right) \otimes \frac{1}{\sqrt{2}} (|0\rangle - |1\rangle) \\ &= \begin{cases} \pm \frac{1}{\sqrt{2}} (|0\rangle + |1\rangle) \otimes \frac{1}{\sqrt{2}} (|0\rangle - |1\rangle) & \text{gdy } f(0) = f(1) \\ \pm \frac{1}{\sqrt{2}} (|0\rangle - |1\rangle) \otimes \frac{1}{\sqrt{2}} (|0\rangle - |1\rangle) & \text{gdy } f(0) \neq f(1) \end{cases} \end{aligned}$$

Bramka H działając na pierwszy qubit $|\psi_2\rangle$ robi z tego

$$|\psi_3\rangle = \begin{cases} \pm |0\rangle \otimes \frac{1}{\sqrt{2}} (|0\rangle - |1\rangle) & \text{gdy } f(0) = f(1) \\ \pm |1\rangle \otimes \frac{1}{\sqrt{2}} (|0\rangle - |1\rangle) & \text{gdy } f(0) \neq f(1) \end{cases}$$

Pomiar pierwszego qubitów ujawnia czy $f(0) = f(1)$ czy też nie.

Podobne zadanie, ale znacznie trudniejsze: $f : \{0, 1\}^n \rightarrow \{0, 1\}$ nieznana funkcja. Co najmniej ile pytań $f(x_1, x_2, \dots, x_n) = \dots$ trzeba zadać, by upewnić się czy f jest stała, czy też zbalansowana (przyjmuje 2^{n-1} razy wartość 0 i tyle samo razy wartość 1).

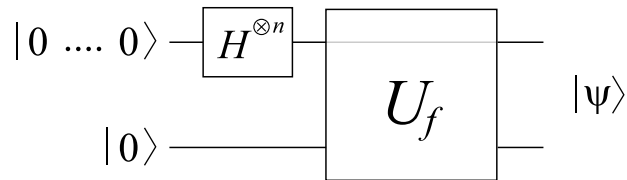
Liczba pytań w deterministycznym badaniu to maksymalnie $2^{n-1} + 1$ dla różnych $\mathbf{x} = (x_1, \dots, x_n)$. Można jednak prościej rozwiązać zadanie stosując rachunek prawdopodobieństwa: jeśli funkcja jest zbalansowana, dla losowo wybranego \mathbf{x} prawdopodobieństwo obliczenia $f(\mathbf{x}) = 0$ wynosi $\frac{1}{2}$. W tym wypadku jeśli powtórzymy pytanie k razy dla różnych \mathbf{x} , prawdopodobieństwo tego, że kolejne wyniki będą takie same maleje tak jak $\frac{1}{2^k}$. Jeśli f jest zbalansowana, szybko się o tym przekonamy. Jeśli wychodzą stale takie same wartości, z dużym prawdopodobieństwem funkcja jest stała.

Wielowymiarowa wersja algorytmu Deutscha wymaga na końcu pomiaru stanu n qubitów.

Wykorzystywana sztuczka:

$$\begin{aligned}
 H^{\otimes n} |00 \dots 0\rangle &= H |0\rangle \otimes H |0\rangle \otimes \dots \otimes H |0\rangle \\
 &= \left(\frac{|0\rangle + |1\rangle}{\sqrt{2}} \right)^{\otimes n} \\
 &= \frac{1}{\sqrt{2^n}} \sum_{x=0}^{2^n-1} |x\rangle
 \end{aligned}$$

gdzie przez $|x\rangle$ oznaczamy n cyfrowe binarne rozwinięcie liczby x (np. $|21\rangle = |00010101\rangle$ gdy $n = 8$)



$$|\psi\rangle = \frac{1}{\sqrt{2^n}} \sum_x |x, f(x)\rangle ,$$

a więc stan ten jest superpozycją wszystkich wyników obliczania $f(x)$ dla kolejnych x od $0 = |00 \dots 0\rangle$ do $2^n - 1 = |11 \dots 1\rangle$.

Pomiar kwantowy

Najprostszy schemat — pomiar w bazie obliczeniowej. Operatory W_i mają postać

$$W_0 = |0\rangle\langle 0| = \begin{bmatrix} 1 & 0 \\ 0 & 0 \end{bmatrix}, \quad W_1 = |1\rangle\langle 1| = \begin{bmatrix} 0 & 0 \\ 0 & 1 \end{bmatrix}$$

Jeśli pomiar dotyczy stanu $|\psi\rangle = \alpha |0\rangle + \beta |1\rangle$, prawdopodobieństwa otrzymania wyniku 0 i 1 wynoszą

$$\begin{aligned} p_0 &= \langle \psi | 0 \rangle \langle 0 | \psi \rangle = \bar{\alpha} \langle 0 | 0 \rangle \alpha \langle 0 | 0 \rangle + \bar{\alpha} \langle 0 | 0 \rangle \beta \langle 0 | 1 \rangle \\ &\quad + \bar{\beta} \langle 1 | 0 \rangle \alpha \langle 0 | 0 \rangle + \bar{\beta} \langle 1 | 0 \rangle \beta \langle 0 | 1 \rangle \\ &= |\alpha|^2 \end{aligned}$$

i podobnie $p_1 = |\beta|^2$. Po pomiarze $|\psi\rangle$ przechodzi, zależnie od wyniku, w jeden ze stanów

$$\frac{1}{|\alpha|} |0\rangle\langle 0 | \psi \rangle = \frac{\alpha}{|\alpha|} |0\rangle \quad \text{lub} \quad \frac{1}{|\beta|} |1\rangle\langle 1 | \psi \rangle = \frac{\beta}{|\beta|} |1\rangle$$

Jeśli $\psi = \frac{|0\rangle + |1\rangle}{\sqrt{2}}$ oba wyniki są jednakowo prawdopodobne $p_i = \frac{1}{2}$.

Jeśli pomiar byłby wykonywany w bazie “diagonalnej”¹

$$|\nearrow\rangle = \frac{|0\rangle + |1\rangle}{\sqrt{2}}, \quad |\searrow\rangle = \frac{|0\rangle - |1\rangle}{\sqrt{2}}$$

operatory W_i miałyby postać

$$W_{\nearrow} = \frac{1}{2} \begin{bmatrix} 1 & 1 \\ 1 & 1 \end{bmatrix} \quad \text{i} \quad W_{\searrow} = \frac{1}{2} \begin{bmatrix} 1 & -1 \\ -1 & 1 \end{bmatrix}$$

Pomiar stanu $|\psi\rangle = |0\rangle$ w tej bazie zwraca jako wynik orientację $|\nearrow\rangle$ lub $|\searrow\rangle$, każdą z prawdopodobieństwem $\frac{1}{2}$, ponieważ

$$|0\rangle = \frac{|\nearrow\rangle + |\searrow\rangle}{\sqrt{2}}.$$

Podobnie ponieważ

$$|1\rangle = \frac{|\nearrow\rangle - |\searrow\rangle}{\sqrt{2}},$$

pomiar $|\psi\rangle = |1\rangle$ w diagonalnej bazie daje taki sam wynik jak wyżej.

¹Stany $|0\rangle$ i $|1\rangle$ mogą być reprezentowane odpowiednio przez fotony o polaryzacji pionowej $|\uparrow\rangle$ i poziomej $|\rightarrow\rangle$, wtedy polaryzacja diagonalna odpowiada stanom $|\nearrow\rangle$ i $|\searrow\rangle$.

Kwantowy protokół uzgodnienia klucza szyfrującego

Klucz szyfrujący — bezpiecznie uzgodniony przez Alicję i Boba ciąg bitów

$$K = (k_1, k_2, \dots, k_N)$$

Wiadomość od Alicji do Boba $A = (a_1, a_2, \dots, a_N)$

Szyfrogram $S = (s_1, s_2, \dots, s_N)$, $s_i = a_i \oplus k_i$, $i = 1, 2, \dots, N$.

Deszyfrowanie $A = S \oplus K$, $a_i = s_i \oplus k_i$.

Problem redukuje się do opracowania metody bezpiecznego uzgodnienia klucza, który można wymieniać po jednorazowym użyciu.

BB84 QUANTUM KEY DISTRIBUTION (Bennet & Brassard, 1984)

Bob losowo decyduje o wyborze bazy zwykłej (+) lub diagonalnej (\times), oraz losowo wybiera klasyczny bit 0 lub 1. Dla każdej z 4 możliwości wysyła do Alicji foton w odp. stanie kwantowym

wybrana baza	+	+	\times	\times
wybrany bit	0	1	0	1
wysłany kubit	$ \rightarrow\rangle$	$ \uparrow\rangle$	$ \nearrow\rangle$	$ \searrow\rangle$

Alicja odbiera foton Boba i dokonuje pomiaru w losowo wybranej bazie + lub \times . Dla bazy + ustawia detektor na wykrywanie polaryzacji $|\uparrow\rangle$, a dla bazy \times odpowiednio $|\searrow\rangle$. Zapisuje wynik 1, jeśli detektor zarejestrował foton lub 0 w przeciwnym razie. Wszystkie możliwe przypadki to

wybrana baza Boba	+	+	\times	\times	+	+	\times	\times
wybrany bit Boba	0	1	0	1	0	1	0	1
wysłany kubit	$ \rightarrow\rangle$	$ \uparrow\rangle$	$ \nearrow\rangle$	$ \searrow\rangle$	$ \rightarrow\rangle$	$ \uparrow\rangle$	$ \nearrow\rangle$	$ \searrow\rangle$
wybrana baza Alicji	+	+	+	+	\times	\times	\times	\times
wynik Alicji	0	1	*	*	*	*	0	1

Wynik “*” to 0 lub 1 z prawdopodobieństwem $\frac{1}{2}$.

Bob i Alicja powtarzają tę procedurę $4N$ razy, po czym komunikują sobie nawzajem ciągi wybranych baz. Każde z nich może wówczas stwierdzić dla których fotonów wybrane bazy były identycznie. Są wtedy pewni, które z wyników zapisanych przez Alicję powinny być identyczne z wartościami bitów wybranych przez Boba. Średnio mają więc $2N$ zgodnych bitów i znają ich pozycje w ciągu.

W kolejnym kroku Alicja wybiera połowę z nich (N) i przesyła Bobowi ich pozycje i wartości, a Bob przesyła jej swoje wartości tych bitów. Wszystkie powinny być zgodne. W tym wypadku N pozostałych nieujawnionych bitów służy jako klucz szyfrujący.

Jeśli komunikacja byłaby przechwytywana przez podsłuchującą Ewę, chcąc się dowiedzieć o tym jakie kubity wysyła Bob, musiałaby wykonywać ich pomiary w przypadkowo wybranych bazach. Jeśli w danym momencie bazy Boba i Alicji byłyby zgodne, Ewa z prawdopodobieństwem $\frac{1}{2}$ mogłaby wybrać niewłaściwą bazę i wykonując pomiar zmienić stan fotonu. Np. gdy Bob i Alicja używają bazy $+$, a wysłany foton to $|\uparrow\rangle$, Ewa wykonując pomiar w źle wybranej bazie zarejestruje $|\nearrow\rangle$ lub $|\searrow\rangle$ z prawdopodobieństwem $\frac{1}{2}$. Do Alicji dotrze wówczas foton w jednym z tych stanów diagonalnych, więc jej pomiar w bazie $+$ zwróci $|\uparrow\rangle$ lub $|\rightarrow\rangle$ z prawdopodobieństwem $\frac{1}{2}$. Oznacza to, że w $\frac{1}{4}$ przypadków otrzyma ona foton $|\rightarrow\rangle$, którego nie zarejestruje jej detektor, mimo iż Bob nadał $|\uparrow\rangle$. Bity Boba i Alicji nie będą wtedy zgodne mimo wyboru tych samych baz. Jeśli więc zauważalna frakcja ujawnianych w trzecim kroku protokołu N bitów nie jest zgodna, zachodzi podejrzenie naruszenia tajności komunikacji. Bity są wymazywane i procedura rozpoczyna się od początku.

Kwantowy algorytm faktoryzacji Shora

Przypomnienie: $N = pq$, p i q to duże liczby pierwsze i chcemy je znaleźć.

Algorytm korzysta z prostego do udowodnienia faktu, że jeśli wybrana losowo liczba $x < N$ jest względnie pierwsza z N , to prawdopodobieństwo tego, że jej rząd r jest parzysty wynosi co najmniej $\frac{3}{4}$.

Na podstawie tw. Eulera $x^{\varphi(N)} = 1 \pmod{N}$, czyli x ma rząd $r \leq \varphi(N)$. Przy tym r jest dzielnikiem $\varphi(N)$. Tak więc łatwo jest wylosować x o parzystym rzędzie $r = 2s$, a więc $(x^s)^2 = 1 \pmod{N}$. Stąd

$$(x^s)^2 - 1 = 0 \pmod{N} \quad \Rightarrow \quad (x^s + 1)(x^s - 1) = kN = kpq$$

Zatem jedna z liczb $x^s + 1$ lub $x^s - 1$ ma dzielnik p lub q . Wyjątek stanowi przypadek, gdy $x^s = \pm 1 \pmod{N}$. Nie może to być $x^s = 1$ bo $2s$ jest rzędem x , a więc $x^s = -1 = N - 1 \pmod{N}$. Wtedy $k = 0$ i metoda nie działa. Na szczęście to też jest sytuacja rzadka. Algorytm faktoryzacji z wykorzystaniem rzędu elementu x jest następujący:

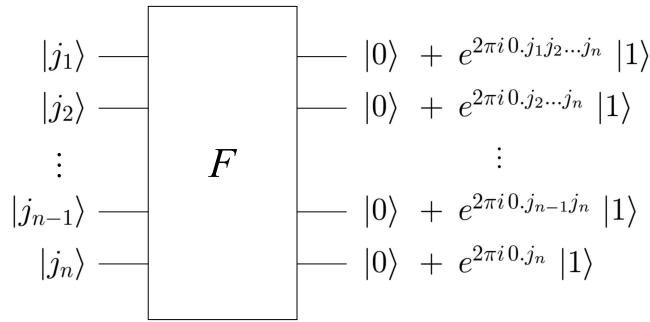
1. Wylosuj $x < N$ i sprawdź czy $\text{NWP}(x, N) = 1$ (algorytm Euklidesa).
2. Oblicz rząd elementu x , czyli min r takie, że $x^r = 1 \pmod{N}$.
3. Jeśli r jest nieparzyste lub gdy $x^{r/2} = N - 1 \pmod{N}$ wróć do 1.
4. Oblicz p lub q jako $\text{NWP}(x^s + 1, N)$ lub $\text{NWP}(x^s - 1, N)$ (znowu algorytm Euklidesa).

Problemem jest p. 2: nie umiemy klasycznie obliczać szybko rzędu elementu. Algorytm Shora pokazuje jak zrobić to na kwantowym komputerze. Wykorzystuje w tym celu 2 moduły: kwantową transformatę Fouriera i estymator fazy. Dla każdego z nich podany jest szczegółowy opis w postaci odp. układu elementarnych bramek kwantowych.

TRANSFORMATA FOURIERA

$$|j\rangle \quad \rightarrow \quad \frac{1}{\sqrt{N}} \sum_{k=0}^{N-1} e^{2\pi i jk/N} |k\rangle, \quad j = 0, 1, \dots, N-1,$$

gdzie $|j\rangle = |j_1 j_2 \dots j_n\rangle$ rozwinięcie binarne. Więc $N = 2^n$ jest na ogół za duże do efektywnych obliczeń klasycznych.

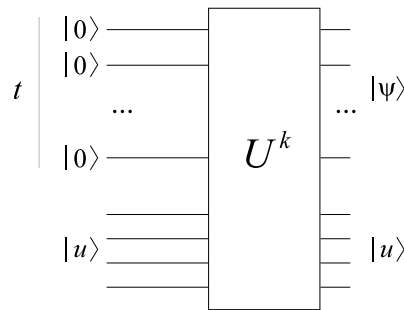


$0.j_1 j_2 \dots j_n$ oznacza binarny ułamek o cyfrach j_i . Liczba elementarnych bramek w F jest rzędu n^2 .

Drugi układ to tzw. estymator fazy

$$U |u\rangle = e^{2\pi i \phi} |u\rangle$$

Należy znaleźć dostatecznie dobre przybliżenie ułamka ϕ .



$|\psi\rangle$ ma postać iloczynu tensorowego czynników

$$\frac{1}{\sqrt{2}} (|0\rangle + e^{2\pi i 2^m \phi} |1\rangle)$$

gdzie $m = 0, 1, \dots, t - 1$. W tych czynnikach, tak jak w wyniku transformaty Fouriera mamy poprzysuwane binarne t -cyfrowe przybliżenie ułamka ϕ . Odwrotna transformata Fouriera robi z tego wektor

$$|\phi_0 \phi_1 \dots \phi_{t-1}\rangle$$

Mierząc qubity otrzymujemy binarny ułamek $0.\phi_0 \phi_1 \dots \phi_{t-1}$.

Operator U którego fazę zamierzamy estymować ma rozmiar $n \times n$, gdzie $n = \lceil \log_2 N \rceil$, i postać

$$U |y\rangle = |xy \pmod{N}\rangle$$

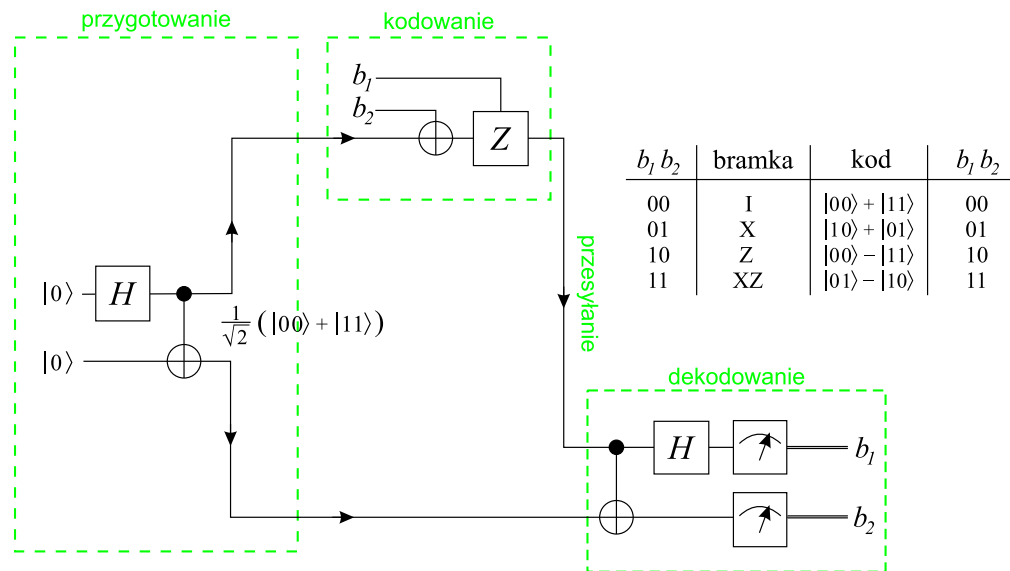
Jego wektory własne $|u_s\rangle$ mają fazy $\phi_s = \frac{s}{r}$ gdzie r jest rzędem liczby x mod N . Otrzymujemy więc z pomiarów binarne przybliżenia liczb $\frac{s}{r}$, z których już klasycznymi metodami można odczytać r .

Gęste kodowanie

Gęste kodowanie polega na transmisji 2 klasycznych bitów przy pomocy 1 qubitu. “Kanał” transmisyjny między Alicją i Bobem zawiera spletaną parę qubitów, jeden w posiadaniu Alicji, drugi — Boba (faza przygotowania),

$$\psi_{00} = \frac{1}{\sqrt{2}} (|0_A 0_B\rangle + |1_A 1_B\rangle),$$

którą uzyskuje się działając kombinacją bramek H i $CNOT$ na parę $|00\rangle$.



- Kodowanie: Na swoim qubicie Alicja wykonuje jedną z operacji I , X , Z , XZ zależnie od wartości klasycznych bitów b_1 i b_2 , które zamierza przesłać do Boba. Qubit Boba pozostaje niezmienny, więc odpowiada to wykonaniu jednej z operacji na całym układzie $K_{b_1 b_2} = X^{b_2} Z^{b_1} \otimes I$, której wynikiem jest jeden ze stanów Bella

$$K_{00}\psi_{00} = \psi_{00}, \quad K_{01}\psi_{00} = \psi_{01}, \quad K_{10}\psi_{00} = \psi_{10}, \quad K_{11}\psi_{00} = \psi_{11},$$

czyli odpowiednio

$$\psi_{01} = \frac{|10\rangle + |01\rangle}{\sqrt{2}}, \quad \psi_{10} = \frac{|00\rangle - |11\rangle}{\sqrt{2}}, \quad \psi_{11} = \frac{|01\rangle - |10\rangle}{\sqrt{2}}.$$

- Transmisja: Alicja przesyła swój qubit do Boba
- Dekodowanie: Bob wykonuje operację D odwrotną do generowania ψ_{00}

$$D = (H \otimes I)CNOT)^{-1} = CNOT^{-1}(H \otimes I)^{-1} = CNOT(H \otimes I),$$

która produkuje $|00\rangle = D\psi_{00}$, $|01\rangle = D\psi_{01}$, $|10\rangle = D\psi_{10}$, $|11\rangle = D\psi_{11}$, odczytywane przez Boba w procesie pomiaru obydwu qubitów.